

تخمین پارامترهای هیدروژئولوژیکی با روش‌های ژئالکتریک و برآورد حجم تقریبی و حجم آب قابل استحصال از آبخوان دشت امامزاده جعفر گچساران

فرحناز عزیزی (کارشناس ارشد هیدروژئولوژی، دانشگاه فردوسی مشهد، نویسنده مسؤول)

Fazizi90@yahoo.com

حسین محمدزاده (دانشیار هیدروژئولوژی و سرپرست مرکز تحقیقات آبهای زیرزمینی (متاب)، دانشگاه فردوسی مشهد)

mohammadzadeh@um.ac.ir

چکیده

تخمین پارامترهای هیدروژئولوژیکی آبخوان (T، K، Sy و مواردی از این قبیل) برای ارزیابی، مدیریت و مطالعات منابع آبهای زیرزمینی ضرورت دارد. روش‌های گوناگونی مانند آزمون پمپاز، شیوه‌سازی یا مدل آبهای زیرزمینی، ژئوفیزیکی و مواردی از این قبیل برای ارزیابی این پارامترها وجود دارند. اگرچه تعییر و تفسیر داده‌های بهدست‌آمده از آزمون پمپاز، بهترین روش تخمین پارامترهای هیدروژئولوژیکی آبخوان است، اما این روش پرهزینه، وقت‌گیر است و نتایج آن برای نقاط محدودی کاربرد دارد. از این‌رو، برآورد پارامترهای آبخوان با روش ژئالکتریکی به همراه روش آزمون پمپاز، بسیار موثر و باصره است. در این مقاله پارامترهای هیدروژئولوژیکی آبخوان دشت امامزاده جعفر گچساران، واقع در جنوب استان کهگیلویه و بویراحمد، با استفاده از داده‌های مقاومت ویژه که از ۸۶ سونداث قائم ژئالکتریکی (VES) با آرایه اشلومبرژ بهدست‌آمد و با توجه به تشابه خصوصیات جریان آب‌زیرزمینی (قانون دارسی) و جریان الکتریکی (قانون اهم) در محیط متخلخل، تخمین زده شد. نتایج بهدست‌آمده نشان داد مقدار متوسط تخلخل و آبدهی ویژه آبخوان به ترتیب حدود ۲۶ و ۰/۰۴۴ درصد، ضخامت‌های متوسط آبرفت و آبخوان به ترتیب حدود ۱۳۲ و ۷۹ متر، حجم کل آبخوان دشت امامزاده جعفر ۵/۷ میلیارد مترمکعب، حجم تقریبی آب موجود در آبخوان ۱/۵ میلیارد مترمکعب و میزان حجم آب قابل استحصال از آبخوان ۶۶/۵ میلیون مترمکعب برآورد شده است. با مقایسه نتایج بهدست‌آمده از روش ژئوفیزیکی و نتایج حاصل از آزمون پمپاز، معلوم شد روش مقاومت الکتریکی قادر به تخمین قابل قبولی از پارامترهای هیدروژئولوژیکی آبخوان است. به طوری که می‌توان با تلفیق داده‌های بهدست‌آمده از روش ژئالکتریک و داده‌های حاصل از آزمون پمپاز، علاوه بر کاهش هزینه‌ها، نتایج مطلوبی به دست آورد. کلیدواژه‌ها: تخلخل، آبدهی ویژه، مقاومت ویژه، آزمون پمپاز، دشت امامزاده جعفر گچساران.

۱- مقدمه

به منظور ارزیابی و مدیریت درست منابع آب‌های زیرزمینی، شناسایی آبخوان و پارامترهای هیدرولیکی آن (هدایت هیدرولیکی، قابلیت انتقال، تخلخل، آبدهی ویژه و مواردی از این قبیل) ضرورت دارد. همچنین برآورد دقیق پارامترهای هیدرولیکی و ارایه مدل مفهومی درین زمینه، به پیش‌بینی درست جریان آب‌های زیرزمینی بستگی دارد. روش‌های گوناگونی برای اندازه‌گیری ضرایب هیدرودینامیک وجود دارد که می‌توان به روش‌های آزمایشگاهی، مدل‌سازی آب‌های زیرزمینی، آزمون پمپاژ، استفاده از ردیاب‌ها و روش‌های ژئوفیزیکی اشاره کرد. به طور معمول روش‌های مبتنی بر آزمون پمپاژ، مهمترین روش تعیین ضرایب هیدرودینامیک هستند، اما با صرف وقت و هزینه فراوان، فقط اطلاعات هیدرولیکی نقاط محدودی در پیرامون چاه پمپاژ را به دست می‌دهند.

از این‌رو، کاربرد روش‌های ژئوفیزیک سطحی^۱ همراه با آزمون پمپاژ برای برآورد پارامترهای آبخوان بسیار موثر و باصره است. روش اکشافات ژئوفیزیکی بر این فرض استوار است که سنگ‌ها متخلخل هستند، ماتریکس آن‌ها عموماً عایق است و جریان الکتریکی به واسطه وجود آب و رطوبت در خلل و فرج سنگ است (Niwas & et al., 2011: 307). بر این اساس اندازه‌گیری‌های ژئوالکتریکی تحت تأثیر تخلخل و مقاومت سیال در خلل و فرج سنگ قرار می‌گیرد. مهمترین مرحله‌ی تفسیر نتایج سوندایز قائم ژئوالکتریکی^۲ (VES) ارتباط بین مقاومت ظاهری و ویژگی‌های هیدرولیکی آبخوان است که رابطه بین مقاومت الکتریکی زون غیراشباع با مقاومت آب موجود در خلل و فرج، تخلخل، درجه اشباع، هدایت الکتریکی و لیتوژوئی توسط قانون آرکی بیان می‌شود که این رابطه توسط پژوهشگران مختلف بررسی شده است (Archie, 1942)، (Kelly, 1977)، (Niwas & et al., 2011)، (Niwas & Singhal, 1981)، (Frohlich & Kelly, 1988)، (po-zenzwong & et al., 1984)، (Frohlich & park., 1989)، (Onuoha & Mbazi, 1988)، (Huntley, 1980) و (Atiknas & smith, 1961)، (Urish, 1981).

1 . Electrical Resistivity Method
2 . Vertical Electrical Sounding

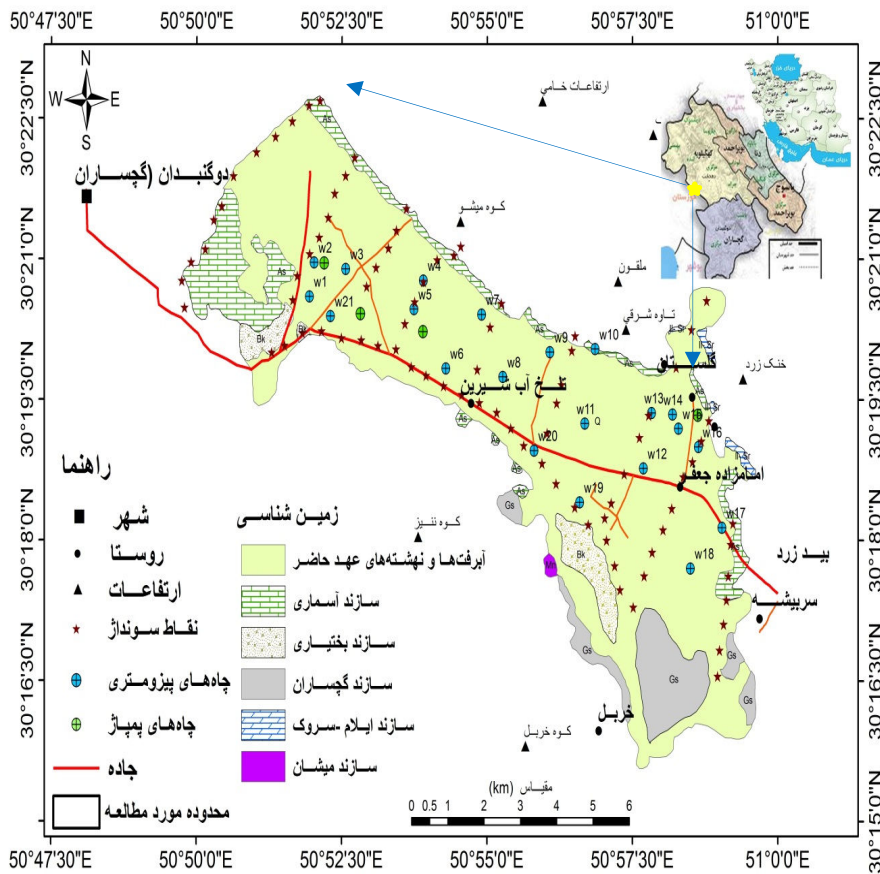
روش‌های ژئوالکتریک سطحی تکنیک‌های کم‌هزینه‌ای هستند که به وسیله آن می‌توان پارامترهای هیدرولوژیکی آبخوان را تخمین زد. نتایج برآورد روش‌های ژئوالکتریک بربایه داده‌های به‌دست‌آمده از آزمون پمپاژ ثابت کرده است، روش‌های ژئوالکتریک می‌توانند پارامترهای هیدرولیکی آبخوان را به صورت دقیق تخمین بزنند(Niwas & et al., 2011: 314). هدف پژوهش حاضر تخمین پارامترهای هیدرولوژیکی دشت امامزاده جعفر گچساران با روش‌های ژئوالکتریک و برآورد حجم تقریبی آبخوان و حجم آب قابل استحصال از آبخوان این دشت است.

۲- پیشینهٔ پژوهش

دشت امامزاده جعفر در فاصله ۵ کیلومتری شمال‌شرق شهر گچساران و در جنوب استان کهگیلویه و بویراحمد، بین عرض $^{\circ} ۳۰$ ، $^{\circ} ۲۸$ تا $^{\circ} ۳۰$ ، $^{\circ} ۱۶$ شمالی و طول جغرافیایی $^{\circ} ۵۲$ تا $^{\circ} ۵۰$ ، $^{\circ} ۵۱$ شرقی واقع شده است(شکل ۱). حوزه آبریز این دشت از زیرمجموعه حوزه آبریز رودخانه زهره است که وسعت آن ۲۲۰ کیلومتر مربع می‌باشد و حدود ۱۶۰ کیلومتر مربع آن کوهستانی و بقیه دشت نسبتاً مسطح است.

دشت امامزاده جعفر با امتداد شمال‌غربی-جنوب‌شرقی در زون زاگرس چین‌خورده واقع شده است. تشکیلات زمین‌شناسی مختلفی از رسوبات متعلق به دوره ژوراسیک تا کواترنری در محدوده موردمطالعه رخنمون دارند. بر اساس شواهد زمین‌شناسی و چینه‌شناسی، سنگ کف محدوده موردمطالعه را واحدهای سازند گچساران تشکیل می‌دهد. ضخامت آبرفت‌های دشت در دامنه ارتفاعات تا مرکز به ترتیب از صفر تا ۱۳۲ متر متغیر است، جهت جریان آبهای زیرزمینی در دشت، از شمال غرب به جنوب‌شرق بوده و متوسط ضخامت آبخوان حدود ۷۹ متر می‌باشد. در سال ۱۳۸۲، شرکت مهندسین مشاور ژرف پویا در دشت امامزاده جعفر، ۸۶ سونداز قائم ژئوالکتریکی به روش مقاومت ویژه و با آرایه اشلمبرژه توسط برداشت کرده است. اختلاف ویژگی‌های ژئوالکتریکی دشت ناشی از تفاوت اندازه دانه‌های تشکیل دهنده رسوبات است (مهندسين مشاور ژرف پویا، ۱۳۸۲: ۲۲). در نواحی شمال و شمال‌غربی دشت، رسوبات دانه درشت مخروط افکنه‌ای و در نواحی جنوب‌شرقی (خروجی دشت) رسوبات دانه ریزتر، از

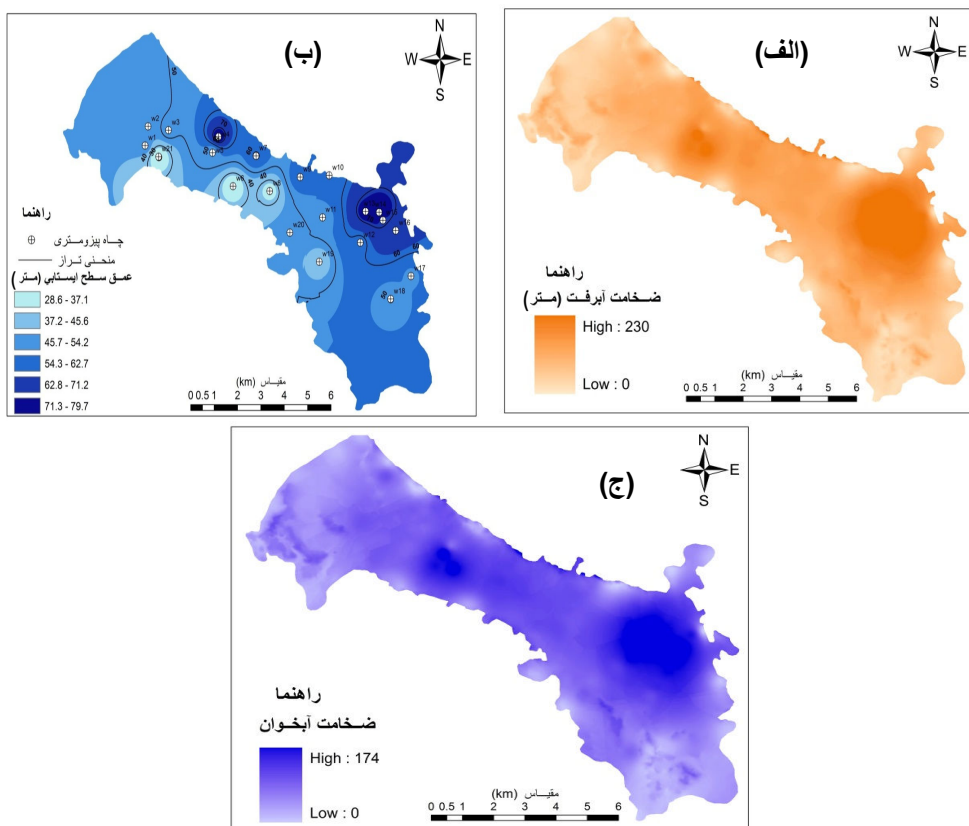
جنس سیلت، رس و لیمون هستند. در برخی نواحی دشت، کیفیت آب به دلیل تماس با تشکیلات گچساران نامناسب بوده و میزان مقاومت آب موجود در خلل و فرج کاهش می یابد.



شکل ۱: موقعیت جغرافیایی و نقشه زمین شناسی دشت امامزاده جعفر

مأخذ: نگارندگان، ۱۳۹۱

بر مبنای نتایج به دست آمده از برداشت‌های ژئوالکتریک نقشه هم‌ضخامت آبرفت (شکل ۲-الف) و با تفربیق از نقشه هم‌عمق سطح ایستابی (شکل ۲-ب)، نقشه هم‌ضخامت منطقه اشیاع آبخوان (شکل ۲-ج) تهیه شد.



شکل ۲: (الف) نقشه هم ضخامت آبرفت، (ب) نقشه هم عمق سطح ایستابی و (ج) نقشه هم ضخامت منطقه اشباع آبخوان دشت امامزاده جعفر
مأخذ: نگارندگان، ۱۳۹۱

۳- روش تحقیق

از آنجاییکه روش‌های ژئوکتریک ساده و کم‌هزینه هستند، تخمین پارامترهای هیدرولوژی با روش ژئوکتریک، مطالعات آب‌های زیرزمینی را ممکن می‌سازد. اگرچه پارامترهایی مانند عمق، جهت جریان آب‌زیرزمینی، ضخامت لایه آبدار و محدوده سفره آب‌زیرزمینی را می‌توان مستقیماً از تفسیر نتایج ژئوکتریکی به دست آورد، اما با توجه به تشابه

خصوصیات جریان آب زیرزمینی و جریان الکتریکی در محیط متخلخل (تشابه قانون اهم و دارسی) و ارتباط بین پارامترهای ژئالکتریکی و هیدروژئولوژی، می‌توان سایر پارامترهای هیدروژئولوژیکی (مثل S_y) را نیز تخمین زد.

با داشتن مقاومت الکتریکی آب موجود در فضاهای خالی (ρ_w) و مقاومت الکتریکی کل در زون‌های اشباع (ρ) و غیراشباع (ρ_{unsat}) آبخوان و با استفاده از معادله (۱)، می‌توان آبدهی ویژه سفره (S_y) را به دست آورد^۱ (Archie, 1942:56).

$$S_y = \left(\frac{\rho_w}{\rho_{sat}} \right)^{\frac{1}{m}} \times \left[1 - \left(\frac{\rho_{sat}}{\rho_{unsat}} \right)^{\frac{1}{n}} \right] \quad (1)$$

که در این روابط کلیه مقاومت‌ها بر حسب اهم متر (Ωm) و پارامترهای m و n مربوط به درجه سیمانی شدن دانه‌های تشکیل‌دهنده سفره هستند که مقادیر آن‌ها در جدول (۱) آمده است. مقدار m برای هر نمونه متفاوت بوده و در بیشتر رسوبات آبرفتی سخت‌نشده متخلخل، از قانون اولیه آرکی^۲ (۱۹۴۲) پیروی می‌کند.

مقاومت الکتریکی آب موجود در فضاهای خالی (ρ_w) را می‌توان با اندازه‌گیری مقدار هدایت الکتریکی (EC) بر حسب میکرومیکرون بر سانتی‌متر ($\mu mhos/cm$) در چاههای آب مجاور نقاط سوندazهای ژئالکتریک و با استفاده از رابطه (۲) محاسبه نمود (Frohlich & Kelly, 1988: 36).

$$\rho_w = \frac{10^4}{EC} \quad (2)$$

با محاسبه فاکتور سازند(F)، می‌توان میزان تخلخل را تخمین زد. برای اولین بار آرکی در سال ۱۹۴۲ فاکتور سازند را با استفاده از رابطه (۳) برای محیط‌های اشباع از آب شور و نسبتاً

۱. نسبت حجم آب قابل زهکشی در اثر نیروی ثقل به حجم کل لایه آبدار نمایانگر آبدهی ویژه (S_y) است. هر چند آبدهی ویژه به شکل، اندازه، نحوه توزیع دانه‌ها، میزان فشردگی لایه آبدار و زمان زهکشی بستگی دارد اما به طور کلی می‌توان به صورت تفاوت حجم کل آب موجود در فضاهای خالی آبخوان اشباع (تخلخل - ϕ) و حجم آب باقیمانده پس از زهکشی (نگهداشت ویژه-Sr) نیز قابل تعریف است (Todd, 1980:37).

تمیز(مانند ماسه سنگ‌های کوارتزی و کربنات‌های فاقد رس) محاسبه کرد و سپس با استفاده از رابطه (۴) میزان تخلخل (ϕ) را تخمین زد.

$$F = \frac{\rho_{sat}}{\rho_w} \quad (3)$$

$$F = \phi^{-m} \quad (4)$$

جدول ۱: پارامترهای m و n , به ترتیب مربوط به درجه سیمانی شدن مواد تشکیل دهنده

محیط اشبع و غیراشبع آبخوان

مواد و رسوبات زمین شناسی	M	N	مراجع
ماسه‌های سخت نشده	۱/۳ - ۱/۵	۲	Archie, 1942; Ayers, 1990; Dannowski et al., 1999; Doveton, 1986
ماسه سنگ‌های سخت نشده	۱/۸ - ۲	۲	Archie, 1942; Atiknas & smith, 1961
ماسه سنگ با سیمان شدگی خیلی کم	۱/۴ - ۱/۵		Doveton, 1986
ماسه سنگ با سیمان شدگی کم	۱/۵ - ۱/۷		
ماسه سنگ با سیمان شدگی متوسط	۱/۸ - ۱/۹		
ماسه سنگ با سیمان شدگی بالا	۲ - ۲/۲		
مواد دانه‌ای سخت نشده و ماسه‌های سخت نشده با $\phi > 20\%$	۱/۵	۲	Frohlich & park, 1989; pozenwong et al., 1984
سنگ‌های آذرین	۱/۳ - ۴		Chinch, 2000
سنگ‌های رسوبی فاقد رس و سنگ‌های آذرین			
رسوبات دریایی غیر چسبنده ماسه‌ای $\phi < 0.6\%$	۱/۵		Taylor, 1971
رسوبات دریایی چسبنده نظیر رس‌ها $\phi > 0.6\%$	۲		
ماسه‌های کوارتزی و دولومیتی	۱/۴ - ۱/۶		Windle & Wroth, 1975
ماسه‌های سخت نشده در یک سفره یخچالی	۱/۵	۲	Frohlich & Kelly, 1988
ماسه‌های دریایی سخت نشده (تخت)	۱/۲		Jackson et al., 1978
ماسه‌های دریایی سخت نشده (طبیعی)	۱/۴ - ۱/۶		
رسوبات متخلخل سخت نشده با جورشدگی ضعیف	۱/۳		Hiegold et al., 1979; Atiknas & smith, 1961

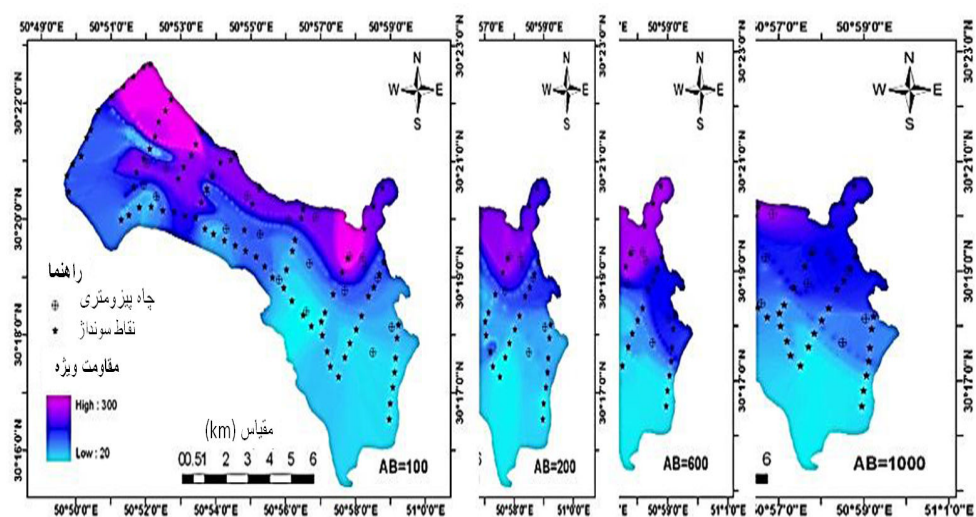
فاکتور سازند در سفرهای فاقد رس، فقط به تخلخل و پیچاپیچی خلل و فرج محیط وابسته است (Archie, 1942: 36). به عقیده هانتلی^۱ (۱۹۸۰) در لایه‌های آبداری که از آب شور اشباع‌اند و رس ندارد فرض برین است که تمامی هدایت الکتریکی به صورت سیال انجام می‌شود که براین اساس می‌توان فاکتور سازند را از نسبت بین مقاومت کل لایه آبدار به مقاومت آب بین منفذی به دست آورده (Archie, 1942: 36). اما با وجود رس، ممکنست قسمی از جریان الکتریکی به وسیله هدایت سطحی ذرات رس انتقال یابد. درنتیجه با نبود ذرات رس، ذرات دانه درشت هدایت کننده سطحی نیز نقش خود را از دست داده و جریان الکتریکی کاملاً به صورت سیال هدایت می‌شود که نشان دهنده میزان تخلخل لایه آبدار است (نخعی و لشکری پور، ۱۳۸۲: ۱۹۶).

۴- یافته‌های تحقیق

۱-۴- تخمین آبدھی ویژه و دیگر پارامترهای هیدروژئولوژیکی آبخوان (S_y و موارد دیگر)
محاسبه تخلخل سازند(ϕ): کمیت تخلخل در مطالعات هیدروژئولوژی اهمیت بسیاری دارد و میزان آن در مواد رسوبی به شکل، اندازه و وضعیت قرارگیری ذرات نسبت به هم، درجه سیمانی‌شدن و تراکم رسوبات بستگی دارد. رسوبات نهشته شده در دشت امامزاده جعفر، رسوبات آبرفتی سخت‌نشده با جورشدگی ضعیف هستند. از این‌رو، با توجه به جدول (۱)، به ترتیب مقادیر ۱/۳ و ۲ برای فاکتورهای m و n (مربوط به درجه سیمانی‌شدن مواد تشکیل دهنده) در نظر گرفته شد و سپس با استفاده از روابط (۳) و (۴)، فاکتور سازند (F) و مقادیر تخلخل برای نقاط مختلف آبخوان محاسبه شد (جدول ۲). حداقل و حداقل تخلخل در دشت به ترتیب ۶٪ و ۴۹٪ بود که مقدار متوسط آن ۲۶ درصد تخمین زده شد.

آبدھی ویژه (S_y): برای تخمین مقادیر آبدھی ویژه، ابتدا نقشه‌های هم مقاومت آبخوان با استفاده از داده‌های ژئوالکتریک حاصل از ۸۶ سوندazer قائم ژئوالکتریکی به روش مقاومت ویژه (آرایه اشلمبرژه بر اساس ۴ فاصله الکترودهای جریان (AB) ۱۰۰، ۲۰۰، ۶۰۰ و ۱۰۰۰ متری)

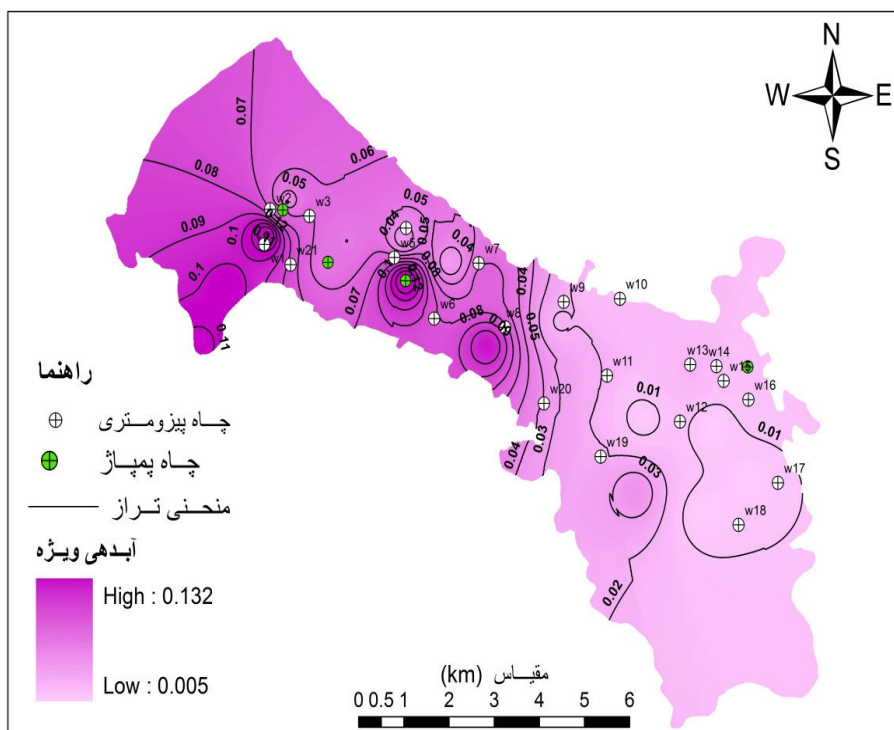
و با استفاده از تکنیک‌های زمین آماری در محیط نرم‌افزار Arc GIS تهیه شدند و سپس با توجه به داده‌های عمق سطح ایستابی، مقاومت در دو زون اشبع و غیراشبع آبخوان به دست آمد(شکل ۳).



شکل ۳: نقشه‌های هم مقاومت آبخوان دشت امامزاده جعفر بر اساس داده‌های روش اشلومبره با فواصل AB متفاوت

مأخذ: نگارندگان، ۱۳۹۱

مقادیر مقاومت الکتریکی کل در زون‌های اشبع (ρ_{sat}) و غیراشبع (ρ_{unsat}) آبخوان برای محل چاههایی که مقدار هدایت الکتریکی آب آن‌ها اندازه‌گیری شده است، براساس داده‌های عمق سطح ایستابی، پروفیل‌ها و مقاطع زمین شناسی آبرفت‌ها، محاسبه شد(جدول ۲). سپس با استفاده از رابطه (۱)، آبدهی ویژه به دست آمد. حداقل و حداکثر آبدهی ویژه به ترتیب ۰/۰۰۵ (در نواحی شرق و جنوب شرقی) و ۰/۱۳ (در نواحی غرب و شمال غربی دشت) و متوسط آن حدود ۰/۰۴۴ تخمین زده شد. شکل ۴ توزیع آبدهی ویژه آبخوان دشت امامزاده جعفر را نشان می‌دهد.



شکل ۴: نقشه پهنۀ بندی آبدھی ویژه آبخوان دشت امامزاده جعفر

مأخذ: نگارنده‌گان، ۱۳۹۱

جدول ۲: داده‌های مورد نیاز و پارامترهای هیدرولیکی محاسبه شده برای آبخوان دشت امامزاده جعفر. کلیه مقادیر مقاومت‌ها بر حسب اهم‌متر می‌باشند.

شماره چاه	X	Y	EC_w ($\mu\text{mhos/cm}$)	ρ_{sat}	ρ_{unsat}	ρ_w	F	S_y	ϕ	κ (m/day)
W1	۴۸۷۱۴۰	۳۳۵۷۰۳۰	۴۲۳	۶۸/۹	۱۴۰/۴	۲۳/۶	۲/۹۱	۰/۱۳۲	۰/۴۴	۱/۴۶
W2	۴۸۷۵۹۰	۳۳۵۷۶۴۸	۳۲۲	۱۰۲/۹	۱۸۷/۳	۳۱/۱	۲/۵۱	۰/۰۳۹	۰/۴۹	۱/۸۴
W3	۴۸۸۹۱۰	۳۳۵۶۹۱۰	۴۲۲	۱۳۲/۱	۲۰۰/۰	۲۳/۷	۵/۵۷	۰/۰۵۰	۰/۲۷	۰/۸۴
W4	۴۹۱۲۰۰	۳۳۵۶۵۰۰	۴۹۷	۱۲۱/۹	۱۶۰/۹	۲۰/۱	۶/۰۶	۰/۰۳۲	۰/۲۵	۰/۷۷
W5	۴۹۲۰۰۰	۳۳۵۶۱۶۰	۳۸۶	۱۱۶/۳	۱۸۰/۴	۲۷/۲	۴/۲۸	۰/۰۶۴	۰/۳۳	۰/۵۵

سال یازدهم

تخمین پارامترهای هیدرولوژیکی...

۱۸۹

W6	۴۹۳۶۵۰	۳۳۵۵۳۷۰	۶۷۸	۱۰۰/۰	۱۱۸/۷	۱۴/۷	۶/۷۸	۰/۰۱۹	۰/۲۳	۰/۶۴
W7	۴۹۴۷۹۲	۳۳۵۵۹۲۱	۱۷۲۹	۱۳۲/۰	۱۷۷/۰	۵/۸	۲۲/۸۲	۰/۰۱۲	۰/۰۹	۰/۵۰
W8	۴۹۴۲۴۸	۳۳۵۵۹۹۴	۹۸۵	۱۴۶/۰	۱۸۶/۹	۱۰/۲	۱۴/۴۳	۰/۰۱۵	۰/۱۳	۰/۴۸
W9	۴۹۶۲۶۹	۳۳۵۵۸۶۰	۲۴۷۰	۱۰۴/۶	۲۷۹/۲	۴/۰	۳۸/۱۹	۰/۰۱۶	۰/۰۶	۰/۷۳
W10	۴۹۶۵۵۰	۳۳۵۴۲۲۰	۷۶۲	۱۵۰/۰	۱۹۴/۶	۱۳/۱	۱۱/۴۳	۰/۰۱۹	۰/۱۵	۰/۸۸
W11	۴۹۵۴۷۲	۳۳۵۳۵۰۵	۱۳۴۲	۷۷/۷	۸۳/۶	۷/۵	۱۰/۱۳	۰/۰۰۸	۰/۱۷	۰/۷۴
W12	۴۹۶۸۰۱	۳۳۵۱۶۹۰	۱۳۷۲	۴۲/۰	۴۴/۰	۷/۳	۵/۷۶	۰/۰۰۶	۰/۲۶	۰/۸۹
W13	۴۹۷۸۱۰	۳۳۵۲۲۸۰	۱۵۲۴	۶۲/۰	۶۷/۰	۶/۶	۹/۴۵	۰/۰۰۷	۰/۱۸	۰/۸۴
W14	۴۹۷۰۱۰	۳۳۵۳۳۵۰	۸۰۰	۹۵/۰	۱۰۰/۰	۱۲/۵	۷/۶۰	۰/۰۰۵	۰/۲۱	۰/۹۷
W15	۴۹۷۸۱۰	۳۳۵۳۸۷۰	۶۵۰	۱۰۰/۳	۱۱۰/۴	۱۵/۴	۶/۵۲	۰/۰۱۱	۰/۲۴	۰/۸۴
W16	۴۸۵۶۶۲	۳۳۵۴۹۵۶	۱۲۷۴	۳۵/۴	۸۶/۷	۷/۸	۴/۵۱	۰/۱۱۳	۰/۳۱	۰/۹۶
W17	۴۸۶۲۹۰	۳۳۵۶۰۳۰	۱۲۹۵	۳۳/۹	۶۱/۳	۷/۷	۴/۵۳	۰/۱۰۶	۰/۳۱	۱/۰۴
W18	۴۹۲۰۰۶	۳۳۵۴۹۰۶	۴۳۵	۶۱/۹	۱۰۰/۰	۲۳/۰	۲/۶۹	۰/۱۰۰	۰/۴۷	۰/۸۴
W19	۴۹۵۳۰۰	۳۳۵۲۱۰۰	۱۲۹۱	۴۳/۹	۵۹/۶	۷/۷	۵/۶۷	۰/۰۳۷	۰/۲۶	۰/۵۶
W20	۴۹۵۵۰۵	۳۳۵۰۷۴۷	۷۵۴	۱۶۱/۲	۲۰۰/۰	۱۳/۳	۱۲/۱۵	۰/۰۱۵	۰/۱۵	۰/۶۲
W21	۴۸۸۶۸۰	۳۳۵۶۹۵۳	۴۲۲	۱۷۶/۰	۳۱۲/۰	۲۳/۷	۷/۴۳	۰/۰۵۳	۰/۲۱	۰/۸۴
W22	۴۹۰۱۷۳	۳۳۵۶۹۶۶	۴۹۷	۱۷۰/۰	۲۵۰/۰	۲۰/۱	۸/۴۵	۰/۰۳۴	۰/۱۹	۰/۷۷
p1	۴۸۷۵۰۰	۳۳۵۷۵۰۰	۳۲۲	۱۲۹/۸	۲۰۱/۴	۳۱/۱	۴/۱۸	۰/۰۶۶	۰/۳۳	۱/۹۵
p2	۴۸۸۵۰۰	۳۳۵۶۵۰۰	۴۲۲	۱۰۶/۳	۱۵۳/۲	۲۳/۷	۴/۴۹	۰/۰۵۳	۰/۳۲	۰/۹۷
p3	۴۹۰۲۲۱	۳۳۵۶۱۴۸	۴۹۷	۵۳/۳	۹۷/۴	۲۰/۱	۲/۶۵	۰/۱۲۳	۰/۴۷	۱/۳۰
p4	۴۹۷۸۰۰	۳۳۵۴۵۰۰	۴۲۴	۱۲۷/۸	۱۴۱/۱	۲۳/۶	۵/۴۲	۰/۰۱۳	۰/۲۷	۰/۸۶
میانگین								۰/۰۴۴	۰/۲۶	۰/۹۱

مأخذ: نگارندگان، ۱۳۹۱

۴- مقایسه نتایج به دست آمده از طریق روش ژئوالکتریک و آزمون پمپاژ

با مقایسه نتایج به دست آمده از روش ژئوالکتریک و داده های حاصل از آزمون پمپاژ (جدول ۳)، معلوم شد روش ژئوالکتریک قادر به تخمین درست پارامتر S_y آبخوان است.

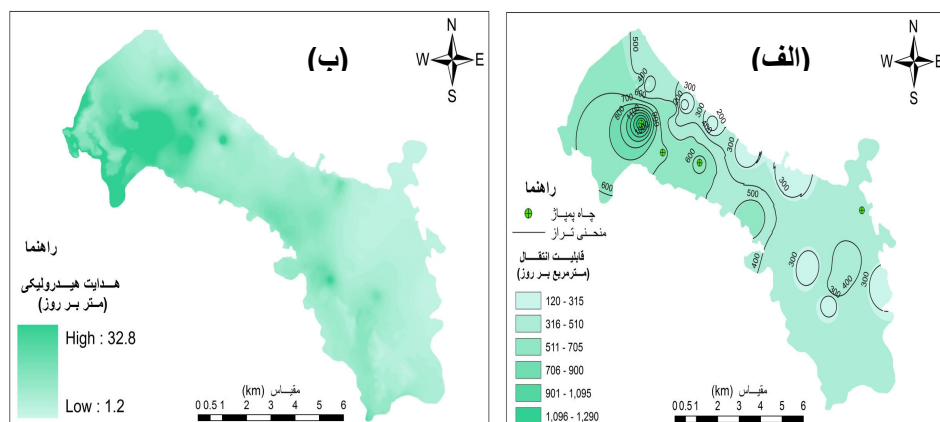
جدول ۳: مقایسه پارامترهای هیدرولیکی محاسبه شده از طریق روش ژئوالکتریک با مقادیر حاصل از آزمون پمپاژ و مقادیر قابلیت انتقال حاصل از اجرای مدل

		از طریق آزمون پمپاژ					از طریق ژئوالکتریک	از طریق اجرای مدل			
	شماره چاه	X	Y	T (m ² /day)	S	S _y	شماره ردیف	X	Y	T (m ² /day)	
نتایج آزمون پمپاژ	p1	۴۸۷۵۵۰	۳۳۵۷۵۰۰	۱۲۹۰	۰/۰۶	۰/۰۶	۱۰	۴۹۰۱۷۳	۳۳۵۶۹۶۶	۴۸۰	
	p2	۴۸۸۵۵۰	۳۳۵۶۵۰۰	۶۱۰	۰/۰۲	۰/۰۵	۱۱	۴۹۰۱۷۶	۳۳۵۷۸۸۰	۱۲۰	
	p3	۴۹۰۲۲۱	۳۳۵۶۱۴۸	۶۳۵	۰/۱۲	۰/۱۲	۱۲	۴۹۲۳۴۵	۳۳۵۶۴۹۵	۲۴۰	
	p4	۴۹۷۸۰۰	۳۳۵۴۵۰۰	۳۶۵	۰/۰۱	۰/۰۱	۱۳	۴۹۴۴۲۶	۳۳۵۵۶۶۴	۲۴۰	
نتایج اجرای مدل	۱	۴۸۶۷۶۴	۳۳۵۷۲۴۲	۱*۲۴۰۰	-	-	۱۴	۴۹۵۳۲۵	۳۳۵۲۵۱۰	۲۴۰	
	۲	۴۸۷۲۸۹	۳۳۵۷۵۷۱	*۱۲۰۰	-	-	۱۵	۴۹۶۳۲۰	۳۳۵۱۳۲۸	۲۴۰	
	۳	۴۸۷۵۱۲	۳۳۵۸۹۶۵	۵۴۰	-	-	۱۶	۴۹۶۵۴۱	۳۳۵۱۷۹۱	۴۸۰	
	۴	۴۸۷۷۹۳	۳۳۵۸۸۶۷	۳۰۰	-	-	۱۷	۴۹۷۰۸۴	۳۳۵۲۶۵۶	۴۸۰	
	۵	۴۸۸۶۸۰	۳۳۵۶۹۵۳	*۱۲۰۰	-	-	۱۸	۴۹۸۱۰۵	۳۳۵۲۳۸۲	۳۶۰	
	۶	۴۸۸۹۷۹	۳۳۵۷۹۸۸	۶۰۰	-	-	۱۹	۴۹۸۷۰۷	۳۳۵۱۹۴۶	۲۴۰	
	۷	۴۸۹۲۶۴	۳۳۵۷۶۶۶	۳۶۰	-	-	۲۰	۴۹۲۶۵۱	۳۳۵۴۲۱۶	۶۰۰	
	۸	۴۸۹۴۹۱	۳۳۵۸۱۱۳	۱۲۰	-	-	۲۱	۴۹۳۸۹۳	۳۳۵۳۱۴۶	۳۶۰	
	۹	۴۸۹۹۴۶	۳۳۵۶۶۷۵	۶۰۰	-	-	۱۹	۴۹۸۷۰۷	۳۳۵۱۹۴۶	۲۴۰	

مأخذ: نگارندگان، ۱۳۹۱؛ احمدی، ۱۳۸۷

با استفاده از داده‌های قابلیت انتقال که با دو روش اجرای مدل (احمدی، ۱۳۸۷: ۶۱) و آزمون پمپاژ (جدول ۳) به دست آمد نقشه پهنه‌بندی قابلیت انتقال (T) آبخوان دشت امامزاده جعفر (شکل ۵-الف) ترسیم شد که با تقسیم آن بر نقشه هم ضخامت آبخوان (شکل ۲-ج) نقشه تغییرات هدایت هیدرولیکی دشت به دست آمد (شکل ۵-ب).

۱. داده‌های مشخص شده با علامت * به دلیل عدم مطابقت با داده‌های حاصل از آزمون پمپاژ در رسم نقشه پهنه‌بندی قابلیت انتقال آبخوان (شکل ۵-الف) در نظر گرفته نشده است.



شکل ۵: الف) نقشه هم قابلیت انتقال(T) و ب) نقشه تغییرات هدایت هیدرولیکی(K) آبخوان

دشت امامزاده جعفر

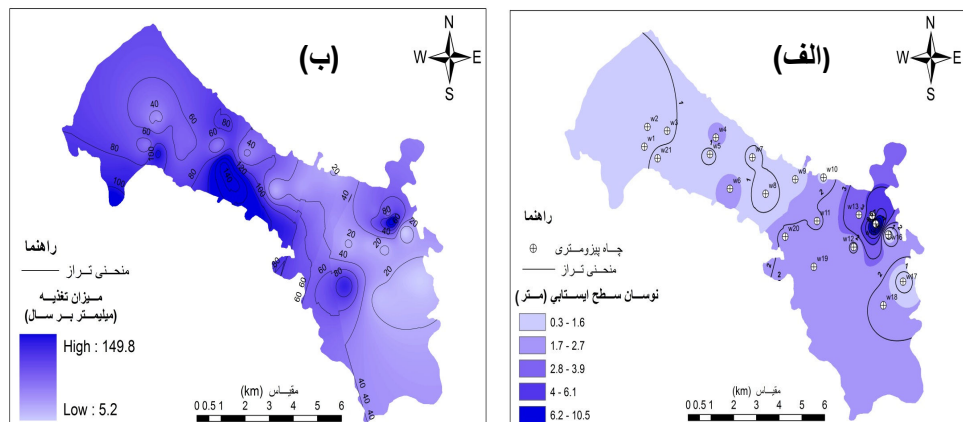
مأخذ: نگارنده‌گان، ۱۳۹۱

۴-۳-۴- محاسبه میزان تغذیه، حجم تقریبی و حجم آب قابل استحصال آبخوان

نقشه تغییرات حجم مخزن آبخوان (ΔV) را می‌توان طبق رابطه (۵) از حاصل ضرب نقشه رسترنی نوسان تراز سطح آب زیرزمینی در نقشه رسترنی آبدهی ویژه دشت (شکل ۴) به دست آورد. شکل ۶-الف، نقشه نوسان تراز سطح آب زیرزمینی را نشان می‌دهد که از تفاوت تراز سطح ایستابی در دو دوره خشک و تر بدست آمده است. با توجه به نقشه تغییرات حجم مخزن آبخوان دشت امامزاده جعفر (شکل ۶-ب) و با فرض متوسط تغذیه آبخوان در هر مترمربع برابر با 0.053 m^3 و با در نظر گرفتن مساحت دشت ($71/8$ میلیون متر مربع)، مقدار حجم آب ذخیره شده (ΔV) در سال ۱۳۸۸-۸۹ در این آبخوان حدود $3/8$ میلیون مترمکعب برآورد شده است.

$$(\Delta V) = A \times S_y \times \frac{dh}{dt} \quad (5)$$

که در این میان A ، مساحت دشت موردمطالعه و $\frac{dh}{dt}$ نوسان تراز سطح ایستابی است.



شكل ٦: الف) نقشه نوسان تراز سطح آب زیرزمینی و ب) نقشه میزان تقدیه آبخوان در سال آبی ١٣٨٨-٨٩

مأخذ: نگارنده‌گان، ۱۳۹۱

به منظور محاسبه حجم تقریبی آبخوان (شامل رسوبات تشکیل دهنده لایه اشباع و آب بین منفذی)، ابتدا نقشه هم ضخامت آبخوان (شکل ٢-ج) تهیه شد. سپس با درنظر گرفتن مساحت دشت ($71/8$ میلیون مترمربع)، حجم تقریبی آبخوان حدود $5/7$ میلیارد مترمکعب برآورد گردید. با توجه به ضرایب تخلخل و آبدهی ویژه محاسبه شده برای دشت، حجم تقریبی آب موجود در خلل و فرج آبخوان حدود $1/5$ میلیارد متر مکعب و میزان آب قابل استحصال از آبخوان حدود $66/57$ میلیون مترمکعب برآورد شد.

٥- نتیجه‌گیری و پیشنهادات

حداکثر تخلخل در دشت امامزاده جعفر گچساران بر اساس معادله آرکی، به ترتیب حدود 0.44% و 0.49% و مقدار متوسط آن 26 درصد تخمین زده شد. متوسط آبدهی ویژه حدود 0.044 (حداکثر به ترتیب 0.005 در نواحی شرق و جنوب شرقی و 0.13 در نواحی غرب و شمال غربی دشت) برآورد گردید. با توجه به ضرایب تخلخل و آبدهی ویژه محاسبه شده در دشت و ضخامت‌های متوسط آبرفت و آبخوان (به ترتیب 132 و 79 متر)، حجم کل آبخوان دشت امامزاده جعفر $5/7$ میلیارد مترمکعب، حجم تقریبی آب موجود در آبخوان

۱/۵ میلیارد مترمکعب، میزان حجم آب قابل استحصال از آبخوان $66/5$ میلیون مترمکعب و میزان تغذیه آبخوان حدود $3/8$ میلیون مترمکعب در سال ۱۳۸۸-۸۹ برآورد شد. با مقایسه نتایج به دست آمده از روش ژئوفیزیکی و نتایج حاصل از آزمون پمپاژ، معلوم شد روش مقاومت الکتریکی قادر به تخمین قابل قبولی از پارامترهای هیدروژئولوژیکی آبخوان می باشد. بنابراین با تلفیق داده های به دست آمده از روش ژئوالکتریک با داده های حاصل از آزمون پمپاژ می توان هزینه ها را پایین آورد، همچنین تعداد آزمون های پمپاژ موردنیاز را کاهش داد و درنهایت نتایج مطلوبی به دست آورد.

کتابنامه

۱. احمدی، صدراله. (۱۳۸۷). بررسی و پیش بینی نوسانات آبخوان دشت امامزاده جعفر گچساران با نگرشی بر اثرات تغذیه مصنوعی و استفاده از مدل *Modflow*. تهران: دانشگاه آزاد اسلامی واحد علوم تحقیقات.
۲. مهندسین مشاور ژرف پویا. (۱۳۸۲). مطالعات ژئوفیزیک دشت امامزاده جعفر گچساران با روش ژئوالکتریک؛ یاسوج: سازمان آب منطقه ای کهگیلویه و بویراحمد.
۳. نخعی، محمد؛ لشکری پور، غلامرضا. (۱۳۸۲). «تخمین آبدهی ویژه در آبخوان دشت شورو با استفاده از داده های مقاومت ویژه و روابط تجربی». نشریه علوم دانشگاه تربیت معلم. ۱۹۱(۱): ۲۰۲.
4. Archie G.E. (1942). *The Electrical resistivity log as an aid in determining some reservoir characteristics*. American Instrument of Mining and Metallurgical Engineering. 146: 54–62.
5. Atkins E.R. & Smith G.H. (1961). *The significance of Particle Shape in Formation Factor-porosity relationships*. J. Petrol. Tech. 13: 285-291.
6. Ayers J.F. (1990). *Conjunctive use of Geophysical and Geological Data in the Study of an Alluvial Aquifer*. Ground water. 27(5): 625-632.
7. Chinch P.D. (2000). *Electrical Properties of Sedimentary Rocks having Interconnected Water-Saturated pore Spaces*. Geophysics. 65(4): 1093-1097.

8. Dannowski, G. & Yaramancı, U. (1999). *Estimation of Water Content and Porosity Using Combined Radar and Geoelectrical Measurements*. European Journal of Environmental and Engineering Geophysics. (4): 1-13.
9. Dovetone J.H. (1986). *Log analysis of subsurface geology*. New York: Wiley & Sons.
10. Frohlich R.K. & Kelly W.E. (1988). *Estimates of Specific Yield with the Geoelectrical Resistivity Method in Glacial Aquifers*. J. Hydrol. 97: 33-44.
11. Frohlich R.K. & Parke C.D. (1989). *The Electrical Resistivity of Vadose Zone – Field surve*. Groundwater. 27 (4): 524-530.
12. Heigold, C., Gilkeson, P., Robert, H., Keros, C. & Philip, C. R. (1979). *Aquifer Transmissivity from Surficial Electrical Methods*. Ground Water. 17(4): 338-345.
13. Huntley, D. (1980). *Relations between permeability and electrical resistivity in granular aquifers*. Ground water. 24: 466-474.
14. Jackson, P.N. Taylor, S.D. & Stanford, P.N. (1978). *Resistivity-porosity-particle shape relationships for marine sands*. Geophysics. 43(6): 1250-1268.
15. Kelly W.E. (1977). *Geoelectrical sounding for estimating aquifer hydraulic conductivity*. Ground water. 15: 420-424.
16. Niwas, S. & Singhal, D.C. (1981). *Estimation of aquifer transmissivity from Dar Zarrouk parameters in porous media*. Hydrology. 50: 393-399.
17. Niwas, S., Tezkan, B. & Israil, M. (2011). *Aquifer hydraulic conductivity estimation from surface geoelectrical measurements for krauthausen test site*. Hydrogeology journal. 19: 307- 315.
18. Onuoha K.M. & Mbazi F.C.C. (1988). *Aquifer transmissivity from electrical sounding data. the case of Ajali Sandstone aquifers southwest of Enugu. Nigeria. in Ofoegbu*. Ground water and mineral resources of Nigeria. 17-30.
19. Setudehnia, A. & OB Perry J.T. (1996). *Geological complation 1: 100000 map of Gachsaran*. Tehran: Iranian oil operating companies.
20. Taylor S.D. (1971). *Acoustic and Electric Techniques for Sea-floor Identification*. Washington: Proc, Int .Symp. On Engineering Properties of Sea-Floor Soils and their Geophysical Identification. 253- 267.
21. Todd D.K. (1980). *Groundwater Hydrology*. New York: John Wiley.

-
22. Urich D.W. (1981). *Electrical resistivity-hydraulic conductivity relationships in glacial out-wash aquifers*. Water Resources Research. 17(5): 1401-1408.
23. Po-zenwong, j., koplik j. & tomanic, j.p. (1984). *Conductivity and permeability of rocks*. Physical review B. 30(11): 6606 - 6614.
24. Windle, D. & Wroth C.P. (1975). *Electrical resistivity method for determining volume changes that occur during a pressurementr test*. Proc. Specialty conferance On In-Situ Measurement of Soil Properties. 1(4): 497- 510.